

ОБ ОДНОМ СПОСОБЕ РАСЧЕТА НЕОДНОРОДНЫХ АНИЗОТРОПНЫХ  
ПОЛОГИХ ОБОЛОЧЕК С РАЗЛИЧНЫМИ ЗАКРЕПЛЕНИЯМИ НА КРАЯХ

к.т.н. Заврак Н.В., к.т.н. Малахова Н.А.

/г. Одесса, ОГАСА/

Несмотря на широкое применение на практике и большое разнообразие методов расчета неоднородных анизотропных пологих оболочек, встречаются существенные трудности при их практической реализации. Они определяются не только сложностью интегрирования системы трех дифференциальных уравнений с переменными коэффициентами, но и сложностью удовлетворения сопутствующих им граничных условий. Очень редко при решении практических задач такой расчет может быть проведен в аналитическом виде. Целесообразно, а иногда и единственно возможно использовать современные численные методы. Наиболее простым из них является метод конечных разностей МКР/. Причем, при использовании этого метода оказывается, что решение может быть найдено с достаточной степенью точности в одних случаях опорного закрепления, например шарнирно-подвижного, - на простой и достаточно редкой сетке, в других же, например - жестком защемлении, - только на сложной или весьма густой сетке, что делает соответствующий расчет очень трудоемким даже при использовании современной вычислительной техники.

Для ослабления указанного недостатка целесообразно строить численное решение так, чтобы в сложных случаях опорного закрепления и загружения решение искалось не непосредственно, а в виде поправок к известному решению для простых случаев опорного закрепления и загружения, при разыскании которых могут быть использованы аналитические способы или МКР с редкой сеткой. Такая методика расчета хотя и несколько усложняет нахождение искомого решения для сложных случаев закрепления, так как его приходится осуществлять в два шага, тем не менее в конечном счете оказывается более эффективной, поскольку позволяет находить составные части искомого решения с применением аналитических соотношений или сравнительно простых по структуре и небольших по числу систем конечноразностных уравнений.

Изложим методику расчета, реализующую сформулированную идею и результаты ее использования проиллюстрируем на примере.

Задача расчета неоднородной анизотропной прямоугольной пологой оболочки с произвольным закреплением на контуре может быть записана

в следующем общем виде:

$$\vec{f}(\vec{q})|_{\Omega} = \vec{f}, \vec{R}_i(\vec{q})|_{S_i^R} = \vec{Q}_i, \vec{r}_i(\vec{q})|_{S_i^L} = \vec{r}_i$$

где  $i=1,2; j=1,2,3$

$$\vec{f}(\vec{q}) = \begin{bmatrix} AC(A\vec{u} + \vec{k}w) \\ \vec{k}'C(A\vec{u} + \vec{k}w) - \vec{B}'D\vec{B}w \end{bmatrix}, \vec{R}_i(\vec{q}) = [R_{ij}], \vec{r}_i(\vec{q}) = [r_{ij}],$$

$\Omega$  - прямоугольная область, на которую опирается оболочка;  $S$  - ограничивающие эту область прямолинейные части контура;  $\vec{f}$  - вектор нагрузок;  $\vec{Q}_i$  и  $\vec{r}_i$  - векторы заданных на участках  $[S_{ij}^R] = \vec{S}_i^R$  и  $[S_{ij}^L] = \vec{S}_i^L$  ( $S_{ij}^R < S, S_{ij}^L = S - S_{ij}^R$ ) контура значений угла поворота, перемещений, изгибных и цепных усилий;  $\vec{q} = [\vec{u} w]$ ,  $\vec{u} = [u v]$  - векторы перемещений точек срединной поверхности оболочки;  $C$  и  $D$  - цепная и изгибная матрицы ее жесткости, элементы которых считаются далее произвольными функциями координат  $x$  и  $y$ . Кроме того

$$A = \begin{vmatrix} \frac{\partial}{\partial x} & 0 \\ 0 & \frac{\partial}{\partial y} \\ \frac{\partial}{\partial y} & \frac{\partial}{\partial x} \end{vmatrix}, \quad \vec{k} = \begin{bmatrix} k_x \\ k_y \\ k_{xy} \end{bmatrix}, \quad \vec{B} = \begin{bmatrix} \frac{\partial^2}{\partial x^2} \\ \frac{\partial^2}{\partial y^2} \\ 2 \frac{\partial^2}{\partial x \partial y} \end{bmatrix}$$

и далее

$$R_{11} = R_{12} = r_{11} = r_{12} = 0, \quad R_{23} = w \quad \text{и} \quad r_{22} = S \quad \text{при} \quad x = \pm a \quad \text{и} \quad y = \pm b$$

$$R_{13} = \begin{cases} \mp \frac{\partial w}{\partial x} & \text{при } x = \pm a \\ \mp \frac{\partial w}{\partial y} & \text{при } y = \pm b \end{cases}, \quad r_{23} = \begin{cases} Q_x + \frac{\partial H}{\partial y} & \text{при } x = \pm a \\ Q_y + \frac{\partial H}{\partial x} & \text{при } y = \pm b \end{cases}$$

$$R_{21} = \begin{cases} \pm u & \\ \pm v & \end{cases}, \quad R_{22} = \begin{cases} \pm v & \\ \pm u & \end{cases}, \quad r_{13} = \begin{cases} M_x \\ M_y \end{cases}, \quad r_{21} = \begin{cases} T_x & \text{при } x = \pm a \\ T_y & \text{при } y = \pm b \end{cases}$$

Здесь штрих при матрицах обозначает их транспонирование. Рассматривая различные комбинации возможных значений элементов  $\vec{S}_i^R$  и  $\vec{S}_i^L$ , из /2/ можно легко получить краевые задачи, огисывающие состояние рассчитываемой оболочки при всех без исключения способах закрепления и нагружения ее края.

Предположим, что ищется решение задачи /I/, причем известно решение соответствующей "жесткой" задачи

$$\vec{L}[\vec{z}]|_{\Omega} = \vec{f}, \quad \vec{R}_i[\vec{z}]|_{\vec{S}_i^R} = \vec{\varphi}_i. \quad /3/$$

В работе [I] показано, что между решениями /I/ и /3/ имеет место зависимость

$$\vec{q}(P) = \vec{z}(P) + \tau'(P) F^{-1} \left\{ \iint_{\Omega} \tau \vec{f} d\omega - \sum_{i=1}^2 \left[ \int_{\vec{S}_i^R} \tau_i^* \vec{\varphi}_i ds - \int_{\vec{S}_i^T} \tau_i^* \vec{\Gamma}_i ds \right] \right\}, \quad /4/$$

где  $F = \|F_{mn}\|_{m,n=1,2}$ ,  $\tau_i^k = \|\vec{\Gamma}_{ij}\|_{j=1,2,3}$ ,  $\tau_i^{k\ell} = \|\vec{R}_{ij}\|_{j=1,2,3}$ , причем  $F_{mn} = \|F_{mn}^{k\ell}\|_{k,\ell=1,2,\dots}$ ,  $\vec{\Gamma}_{ij} = [\Gamma_{ij}^k]_{k=1,2,\dots}$ ,  $\vec{R}_{ij} = [R_{ij}^k]_{k=1,2,\dots}$  суть матрицы - блоки, элементы которых вычисляются по формулам

$$\begin{aligned} F_{11}^{k\ell} &= (\Phi_k^*)' C A \Phi_\ell, & F_{12}^{k\ell} &= (\Phi_k^*)' C \vec{k} \chi_\ell, & F_{21}^{k\ell} &= (\vec{k} \chi_k^*)' C A \Phi_\ell, \\ F_{22}^{k\ell} &= (\vec{k} \chi_k^*)' C \vec{k} \chi_\ell - (\vec{B} \chi_k^*)' D \vec{B} \chi_\ell, & R_{11}^k &= R_{12}^k = \Gamma_{11}^k = \Gamma_{12}^k = 0, \\ R_{13}^k &= R_{13}(\chi_k), & R_{21}^k &= R_{21}(\Psi_k), & R_{22}^k &= R_{22}(\Psi_k), & R_{23}^k &= R_{23}(\chi_k), \\ \Gamma_{13}^k &= \Gamma_{13}(\chi_k), & \Gamma_{21}^k &= \Gamma_{21}(\vec{\xi}_k), & \Gamma_{22}^k &= \Gamma_{22}(\vec{\xi}_k), & \Gamma_{23}^k &= \Gamma_{23}(\chi_k), \end{aligned} \quad /5/$$

далее  $\Phi_k = \|\Phi_k\|_{k=1,2,\dots}$ , а матрица  $\tau$  имеет вид

$$\tau = \begin{vmatrix} \vec{\Phi} & 0 & 0 \\ 0 & \vec{\Psi} & 0 \\ 0 & 0 & \vec{\chi} \end{vmatrix} \quad /6/$$

Здесь  $\vec{\Phi} = [\Phi_j]_{j=1,2,\dots}$ ,  $\vec{\Psi} = [\Psi_j]_{j=1,2,\dots}$ ,  $\vec{\chi} = [\chi_j]_{j=1,2,\dots}$ . Последние должны быть линейно независимы и удовлетворять условиям

$$\vec{L}(\vec{\xi}_j)|_{\Omega} = 0, \quad \vec{R}_i(\vec{\xi}_j)|_{\vec{S}_i^R} = 0, \quad \vec{\xi}_j^i = [\vec{\Phi}_j^i \chi_j], \quad \vec{\Phi}_j^i = [\Phi_j \Psi_j] \quad /7/$$

Для определения численных результатов была составлена программа на языке БОРТРАН.

В качестве примера /Рис. 1/ рассмотрим пологую оболочку на прямоугольном плане, варианто вращенную двумя противоположными кром-

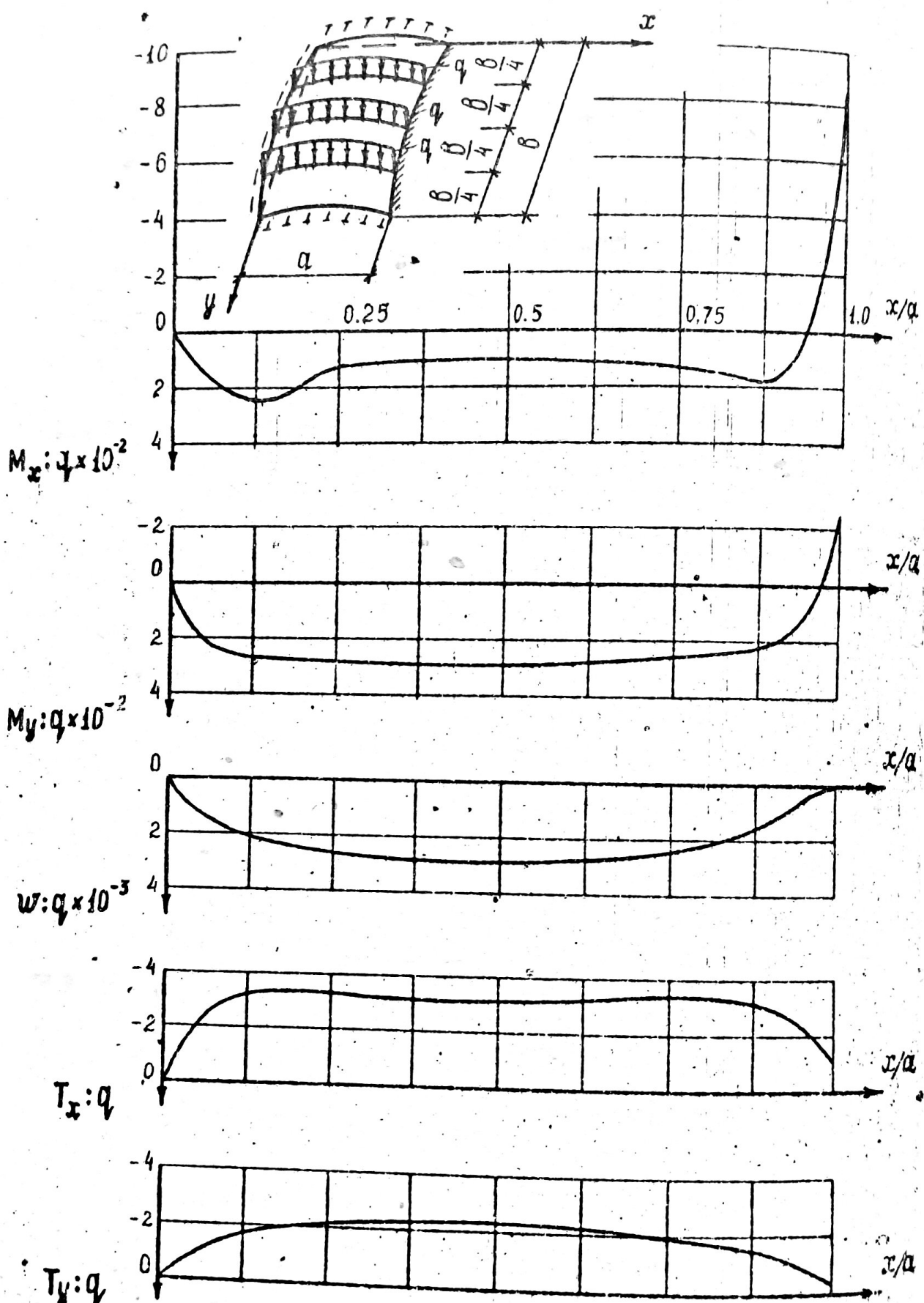
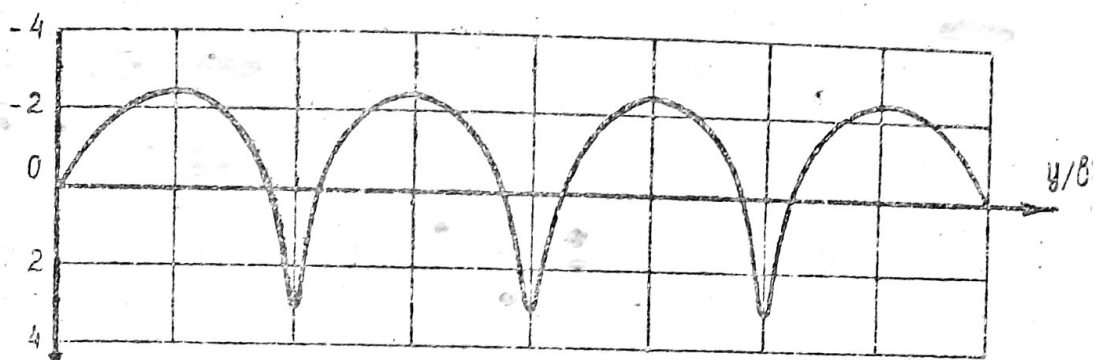


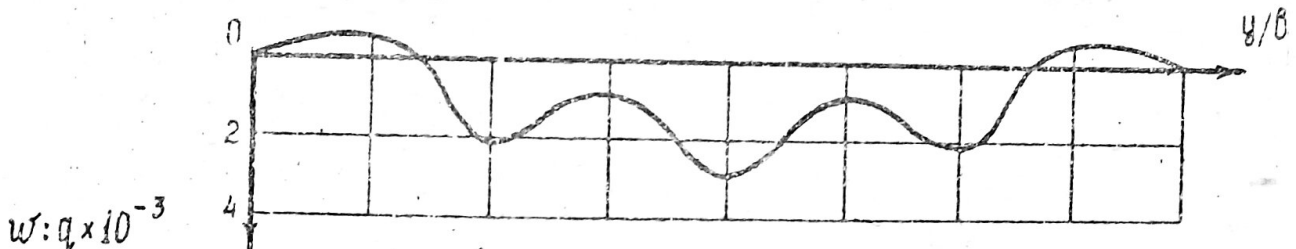
Рис. I. Прогиб и усилия в оболочке вдоль сечения  $y = R/2$



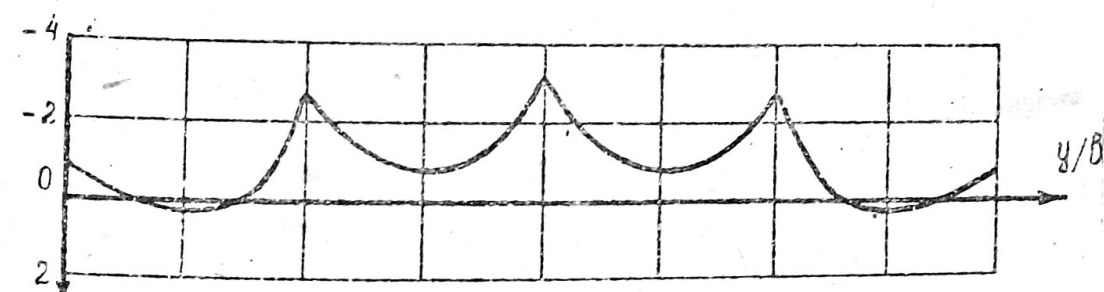
$$M_x: q \times 10^{-2}$$



$$M_y: q \times 10^{-2}$$



$$T_x: q$$



$$T_y: q$$

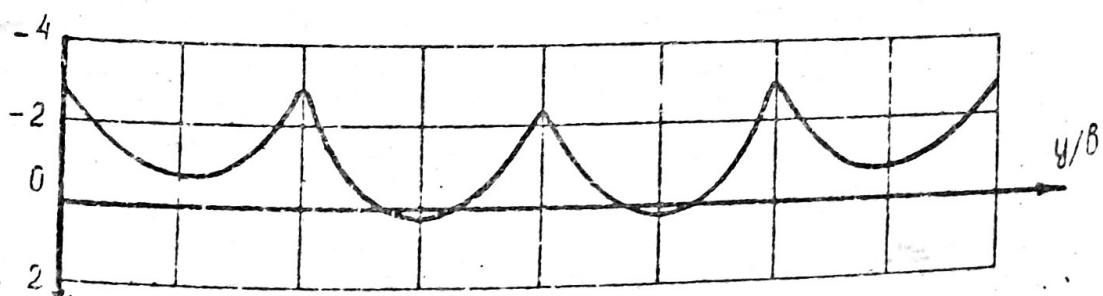


Рис. 2. Прогиб и усилия в оболочке вдоль сечения  $x = a/2$

ками, свободно опертой третьей и жестко закрепленной четвертой кромкой с соотношением сторон  $B:a=1,25$ , толщина оболочки увеличивалась от  $1/8$  пролета и  $7/8$  пролета к опорам /свободно опертой и жестко закрепленной/ в два раза. При этом нагрузка принималась равномерно распределенной вдоль оси симметрии и вдоль осей, проходящих в  $1/4$  и  $3/4$  пролета относительно шарнирно закрепленных кромок; соотношение подъемистости  $\delta/h=20$ ; толщина оболочки в средней части  $h=10$  см; размеры в плане  $B=30$  м,  $a=24$  м. Счет производился при  $\nu=0,3$ . В задаче вначале осуществлялся переход от шарнирного закрепления к жесткому защемлению /вдоль всей границы оболочки/, а затем от жесткого защемления к комбинированному закреплению, при котором две кромки оболочки  $y=0$  и  $y=B$  /закреплены шарнирно, кромка  $x=0$ / свободно оперта, кромка  $x=a$  /жестко закреплена.

На рис. 1 и 2 приведены результаты вычисления прогибов, изгибающих моментов и нормальных усилий вдоль сечения  $y=B/2$  и  $x=a/2$ .

#### Список литературы

I. Слезингер И.Н., Заврак Н.В. Расчет неоднородных анизотропных пологих оболочек на прямоугольном плане с различными условиями на краях // Изв. вузов. Стр-во и архит. -1988. -№ 4. -С.28-32